

Etude d'emploi des LLM pour l'Infrastructure as a Code

Thibault, Chanus

thibault.chanus@ens-rennes.fr

Michael, Aubertin

maubertin@fr.scc.com

September 6, 2023



Abstract

L'informatique en nuage et l'évolution des méthodes de management telles que le Lean Management ou l'Agile impliquent une modification en profondeur de la façon de construire un système autant que de le maintenir. On retrouve ces pratiques regroupées sous le vocable dit "DevOps". Cette approche descriptive d'un système d'information ou d'une application autant que de la configuration des composants qui les constituent ont requis la création de langages descriptifs associés à des moteurs ad-hoc de traitement automatisé des gestes d'administrations des systèmes. Parmi ceux-ci le couple Ansible (moteur) et YAML (Langage descriptif) sont les deux outils les plus rencontrés sur le marché, challengé quasi uniquement par Terraform™. Le présent document propose une recherche de solution de génération et de gestion des rôles et playbook YAML Ansible en utilisant des IA LLM (Génératives) pour produire le code à partir de descriptions humaines. Nos travaux s'attachent à identifier quelques pistes crédibles et à en définir les contours d'un possible emploi industriel.

Note : Nous avons choisi pour cette expérimentation de ne pas utiliser Ansible Lightspeed. En effet, Ansible Lightspeed est basé sur un modèle IBM™Watson™dont nous n'avons pas trouvé d'élément de publication. Vous trouverez les informations disponibles [1] sur cette belle technologie directement sur le site de notre partenaire RedHat™.

1 Introduction

Avec l'essor de l'informatique en nuage et l'adoption croissante de méthodes de gestion modernes telles que le Lean Management et l'Agile, le paysage informatique a connu une transformation radicale. Ces évolutions ont conduit à l'émergence d'une nouvelle approche de développement et d'opération, communément appelée "DevOps". Cette approche vise à intégrer les activités de développement et d'opération pour améliorer l'efficacité et la qualité des systèmes d'informations et des applications.

Dans ce contexte, la description précise et automatisée des systèmes et des applications est devenue essentielle.

Elle permet non seulement de définir la configuration des composants qui les constituent, mais aussi d'automatiser les tâches administratives associées. Pour répondre à ce besoin, des langages descriptifs accompagnés de moteurs de traitement automatisé ont été développés. Parmi ces outils, le duo Ansible (comme moteur) et YAML (comme langage descriptif) se distingue comme l'une des solutions les plus populaires sur le marché, avec Terraform comme principal concurrent.

Cependant, la création et la gestion de fichiers YAML pour Ansible peuvent s'avérer complexes, en particulier pour les utilisateurs non techniques. La nécessité d'une interface plus intuitive et naturelle pour la

génération de ces fichiers est donc apparue. C'est dans ce contexte que l'utilisation des Modèles de Langage à Grande Échelle (LLM) a été envisagée comme solution potentielle. Les LLM sont des modèles d'apprentissage profond qui ont été entraînés sur de grandes quantités de données textuelles et qui peuvent générer du texte. Ils ont été utilisés avec succès dans diverses applications, notamment la génération de code.

L'objectif de cette recherche est d'explorer la capacité des LLM à relever ce défi. En exploitant la puissance des LLM pour comprendre le langage naturel et générer

du code, nous cherchons à développer une solution qui pourrait simplifier et automatiser la création de fichiers YAML pour Ansible, rendant ainsi le processus plus accessible et efficace.

La promesse d'utiliser des LLM pour générer des fichiers Ansible en YAML à partir de descriptions textuelles humaines ouvre la voie à une nouvelle ère d'automatisation et d'efficacité dans le domaine DevOps. Dans les sections suivantes, nous détaillerons notre méthodologie, présenterons nos résultats préliminaires et discuterons des implications potentielles de nos découvertes pour l'industrie.

2 Introduction technique

Nous proposons dans ce chapitre un bref survol du fonctionnement des différents éléments clés utilisés par

2.1 L'architecture Transformer

Ces dernières années, ces derniers mois, l'architecture Transformer évolue avec une vitesse considérable. Bien qu'incomplète par certains égards et difficile d'approche, la publication de référence de cette architecture est issue des laboratoires de recherche de l'entreprise Google [2]. Voici quelques rappels utiles à la compréhension de nos expérimentations.

2.1.1 Histoire du Transformer

Historiquement, l'architecture Transformer se compose d'un bloc d'encodage et d'un autre de décodage (Voir 1).

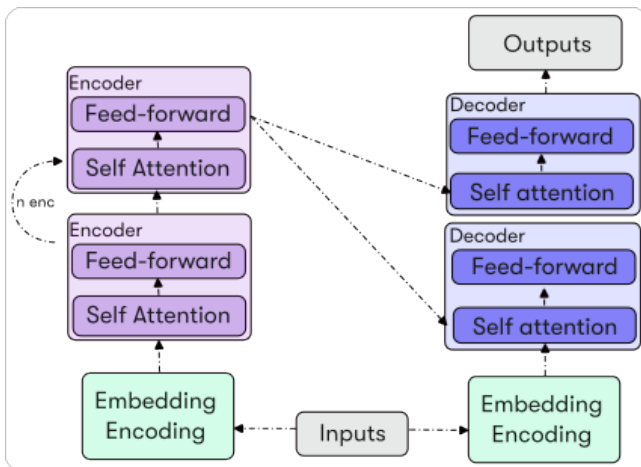


Figure 1: Schéma de principe de l'architecture Transformer

les modèles LLM étudiés lors de nos expérimentations.

À ses débuts, ce modèle apparaissait comme le plus adapté pour sa première utilisation, qui était la traduction de texte. Depuis, la recherche a évolué et les applications se sont diversifiées, privilégiant désormais des spécialisations d'usage, nécessitant soit l'encodage, comme dans la recherche d'informations, soit le décodage, comme dans la génération de texte. Cependant, le besoin de modèles capables de mobiliser un encodeur et un décodeur subsiste. Notre cas d'utilisation concerne spécifiquement la génération de texte, ce qui fait que nos modèles utilisent uniquement la partie Décodeur.

L'illustration ci-dessous présente un bref aperçu, datant du début de 2023, de la prolifération des implémentations de l'architecture Transformer. Nos expérimentations et nos analyses nous conduisent à constater qu'en à peine 8 mois, les modèles majeurs ont déjà rendu leur propre obsolescence écrasante.

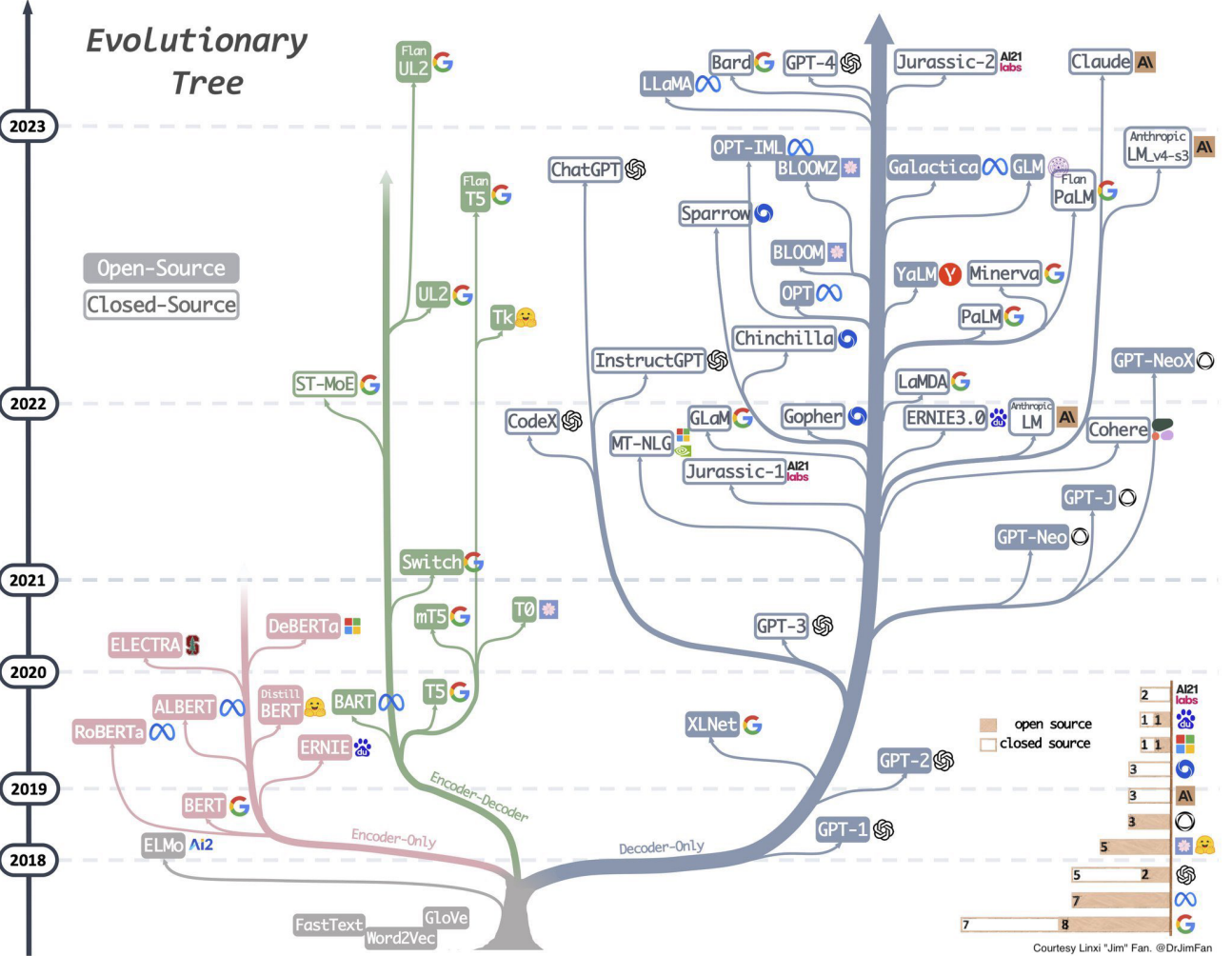


Figure 2: Arbre d'évolution des modèles sur les 5 dernières années

2.1.2 Les tokens et le tokenizer

Concrètement, un tokenizer a pour mission de traduire une phrase en une séquence de nombres. Pour accomplir cette tâche, il crée des "tokens", qui sont des représentations numériques de groupes de symboles. La véritable efficacité du tokenizer réside dans sa capacité à identifier les groupes de symboles les plus fréquemment utilisés et à les assembler. Ainsi, il attribue un nombre unique de manière optimale à chaque groupe de symboles, la taille de ceux-ci pouvant varier. L'enjeu majeur d'un tokenizer de qualité réside dans sa capacité à adopter la bonne taille de regroupement par ensemble de symboles (mots). Chaque modèle a une capacité de traitement en nombre de tokens qui est fixe. Une taille de groupe de symboles trop petite perturbera les performances du modèle car elle consommera un volume de tokens traitable en entrée du modèle trop important par rapport à la taille du texte en entrée du tokenizer. À l'inverse, une taille de groupe de symboles trop élevée dégradera la pertinence du modèle, car le nombre de tokens différents sera trop important pour permettre au modèle de comprendre et d'apprendre le sens de chaque token. C'est par la compréhension et l'apprentissage supposés du modèle pendant sa phase d'entraînement que le modèle acquiert sa performance.

De plus, le tokenizer nous permet d'obtenir des métatokens qui sont utilisés à des fins de signalisation de son fonctionnement. Par exemple, le signal de fin de phrase (EndOfSentenceToken). Le tokenizer est donc un élément essentiel qui doit être considéré comme constitutif et indissociable d'un modèle.

2.1.3 Le contexte

Avant de plonger plus dans les détails de notre approche, il est essentiel de comprendre un concept fondamental des LLM : le contexte.

Le contexte, dans le cadre des LLM, fait référence à la taille de la fenêtre de tokens que le modèle prend en compte pour générer le prochain token. En d'autres termes, il s'agit de la quantité d'informations immédiatement précédentes que le modèle utilise pour prédire la suite du texte.

Il est crucial de comprendre que le principal objectif d'un LLM est de prédire le prochain token sur la base des tokens précédents. Cependant, en raison de contraintes computationnelles et structurelles, le modèle ne peut considérer qu'un nombre limité de tokens à la fois. Cette limitation est ce que nous appelons la "fenêtre de contexte". Tout élément d'information situé en dehors de cette fenêtre n'influence pas la prédiction du modèle pour le token suivant.

2.1.4 La Self Attention

Le mécanisme de self-attention, en intelligence artificielle, a pour but de permettre à un modèle de traiter efficacement les relations entre différentes parties d'une séquence, comme des mots dans une phrase. Concrètement, le self-attention permet au modèle de déterminer à quel point chaque élément d'une séquence est lié aux autres éléments, en attribuant des poids pertinents à ces relations.

L'idée clé derrière le self-attention est de créer des "représentations d'attention" pour chaque élément de la séquence. Ces représentations reflètent l'importance relative des autres éléments par rapport à l'élément en question. Pour accomplir cela, le self-attention utilise trois projections linéaires distinctes, appelées transformations clé, requête et valeur. Ces projections transforment chaque élément en trois vecteurs, qui sont ensuite utilisés pour calculer les scores d'attention entre toutes les paires d'éléments.

Ensuite, ces scores d'attention sont normalisés à l'aide de fonctions telles que la fonction softmax, ce qui donne des poids d'attention normalisés. Ces poids indiquent à quel degré chaque élément devrait prêter attention aux autres éléments de la séquence. Les poids plus élevés sont attribués aux éléments ayant des relations plus fortes avec l'élément en cours d'examen.

Une fois que les poids d'attention sont obtenus, ils sont utilisés pour combiner les représentations de valeur des autres éléments. Cette combinaison pondérée des valeurs donne une représentation finale qui capture les relations contextuelles entre les éléments de la séquence.

En résumé, le self-attention est une technique qui permet à un modèle de traiter efficacement les dépendances à longue distance entre les éléments d'une séquence en calculant des poids d'attention pour chaque paire d'éléments. Ces poids sont ensuite utilisés pour créer une nouvelle représentation contextuelle de chaque élément, ce qui améliore la capacité du modèle à comprendre les relations complexes au sein de la séquence.

Au sein de l'architecture Transformer, on obtient ainsi une représentation, telle qu'illustrée ici:

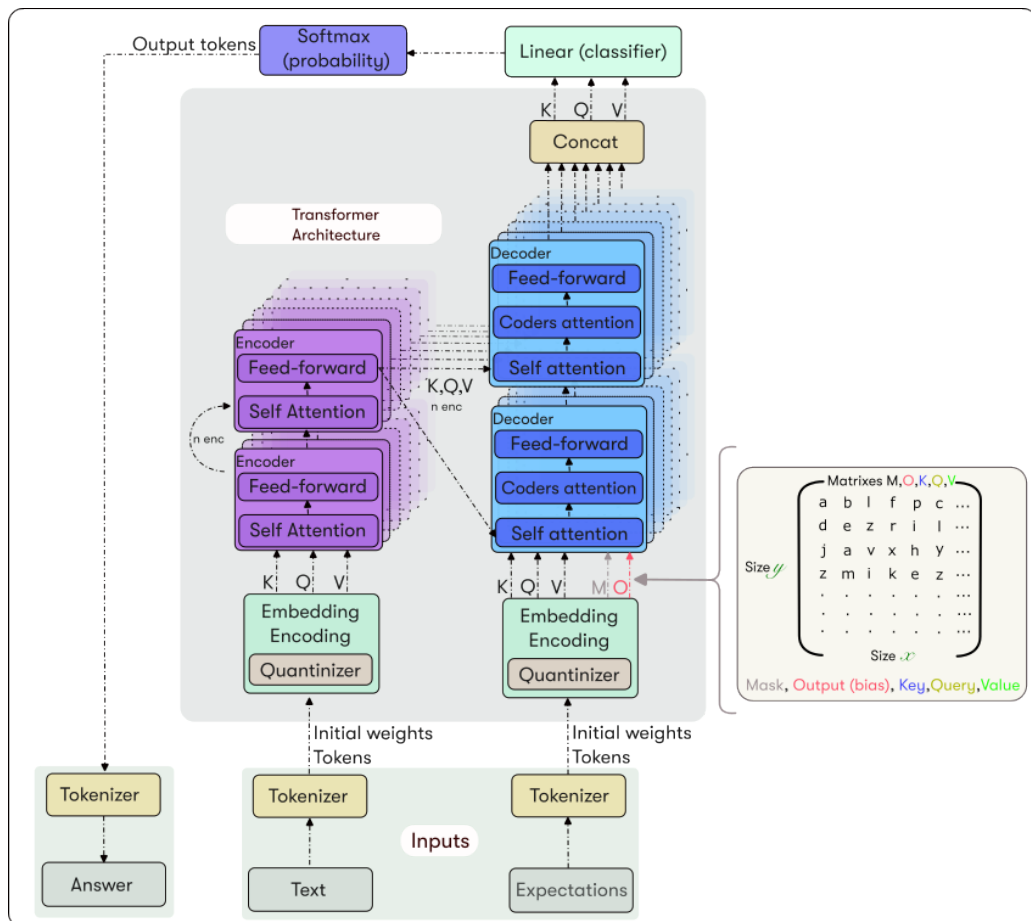


Figure 3: Modèle d'emploi et d'architecture Transformer

Avec pour mécanique de fonctionnement: $MultiHead(Q, K, V) = Concat(head_1, \dots, head_n).W^O$
Avec : $head_i = Attention(QW_i^Q, KW_i^K, VW_i^V)$
Et les matrices de poids (Q, K, V, O) tel que :
 $W_i^Q \in \mathbb{R}^{d_{model} \times d_k}$, $W_i^K \in \mathbb{R}^{d_{model} \times d_k}$, $W_i^V \in \mathbb{R}^{d_{model} \times d_v}$, $W^O \in \mathbb{R}^{hd_v \times d_{model}}$
Et $i \in [0, n^{Heads}]$

On notera qu'il est également fréquent de chercher à optimiser le modèle d'attention en réduisant les calculs de distances. Dans les modèles que nous avons expérimentés on trouve l'emploi de technique dite de Shuffle qui se basent sur l'ajout d'aléatoirité dans les résultats de calculs afin mieux apprécier les distances en comparant les scores de poids quelques soit l'ordre de la séquence analysée [3].

2.1.5 Le feed-forward

Le concept général de feed-forward appliquée à l'architecture Transformer constitue un élément clé dans le fonctionnement de ce modèle d'intelligence artificielle. Le feed-forward s'inspire du fonctionnement de la mémoire neuronale dans le cerveau humain [4]. Il permet au modèle de réaliser des opérations de traitement instantanées sur les données en utilisant des couches de calcul simples. Pour comprendre en détail le mécanisme du feed-forward au sein de l'architecture Transformer, il est essentiel de prendre en considération les éléments suivants.

Contrairement aux mécanismes de traitement plus complexes, le feed-forward se concentre sur des transformations linéaires successives des données, ce qui en fait un processus efficace pour de nombreux types de tâches.

Le feed-forward opère en utilisant le mécanisme

de self-attention sur les données à valeurs [5]. Cela se traduit par une action sur les matrices clés (K), requêtes (Q) et valeurs (V) issues de la phase précédente de self-attention. Les matrices Q et K sont utilisées pour calculer les scores d'attention, tandis que la matrice V contient les informations à mettre en relation. Cependant, contrairement à l'étape de self-attention où toutes les relations entre les éléments sont prises en compte, le feed-forward peut choisir de ne pas opérer systématiquement sur toutes les informations, ce qui permet de gagner en efficacité.

Le concept de feed-forward peut être implémenté de différentes manières au sein de l'architecture Transformer. Différentes variantes de fonctions d'activation, de combinaisons de couches, et de techniques d'optimisation peuvent être utilisées pour réaliser les opérations de traitement tel que le montre la figure ci-après.

Illustration par Sainbayar Sukhbaatar, Edouard Grave, Guillaume Lample, Hervé Jegou, Armand Joulin
Facebook AI Research
arXiv:1907.01470 [cs.LG]

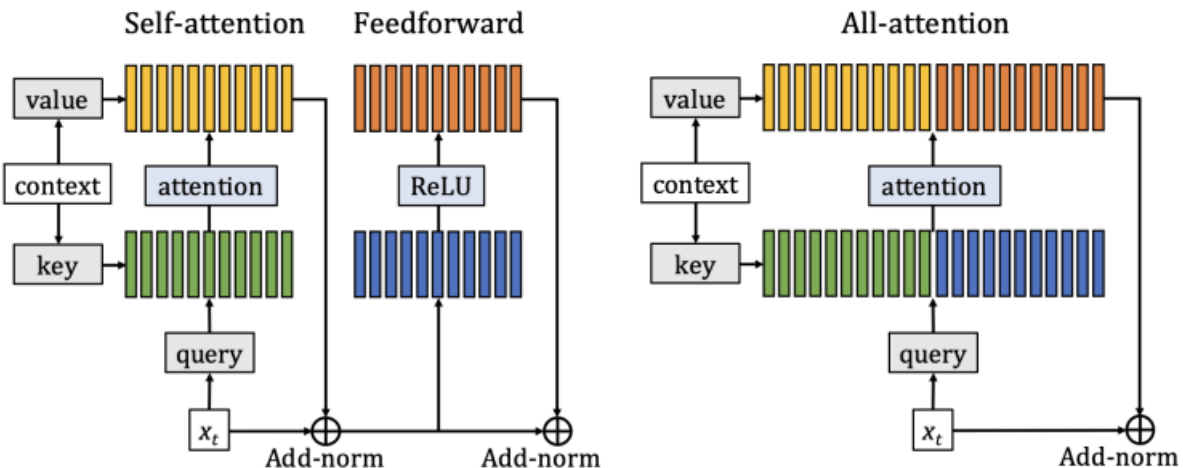


Figure 4: Illustration de fonctionnement de Feed Forwarder (Neural Memory)

Par exemple, bien que le modèle original de l'architecture Transformer ait été développé chez Google (utilisant des activations telles que ReLU et les mécanismes de Multi-Head Self-Attention), des variantes d'implémentation telles que GLU (Gated Linear Unit) [6] peuvent également être adoptées pour améliorer les performances et la convergence du modèle.

L'approche LLMA (Large Language Model

Architecture), bien que trouvant ses origines chez Meta, présente une adaptation intéressante du feed-forward. Cette adaptation utilise une version variant de GLU, comme préconisé par Google. Cette approche vise à améliorer les performances du modèle en exploitant les avantages de GLU dans la capture des dépendances contextuelles. Il est important de noter que, bien que les recommandations de Google mettent en avant les activations GEGLU (Gated Exponential

Linear Unit) ou ReGLU (Rectified Gated Linear Unit), le code de LLMA montre l'utilisation de la fonction d'activation "silu" [7], également appelée Sigmoid Linear Unit, pour remplir un rôle similaire.

En résumé, le concept de feed-forward appliquée à l'architecture Transformer permet d'imiter la mémoire neuronale en réalisant des opérations de traitement immédiat sur les données grâce à des transformations linéaires successives. Il opère en utilisant les matrices Q, K et V de la phase de self-attention, et peut être implémenté de diverses manières pour optimiser les performances du modèle, comme le démontre l'approche LLMA avec sa variante de GLU et l'utilisation de la fonction "silu".

La fonction d'un feed-forward est ainsi de la forme:

$$y_t = \sum_{c \in C_t} a_{tc}(V_c + p(t, c)) \text{ et } a_{tc} = \frac{\exp(S_{tc}/\sqrt{d_h})}{\sum_{i \in C_t} \exp(S_{ti}/\sqrt{d_h})}$$

2.2 La Quantification : L'art de l'optimisation des LLM

Dans l'univers en constante évolution des Modèles de Langage à Grande Échelle, la quantification [8] émerge comme une stratégie d'optimisation sophistiquée et essentielle. Historiquement, bien que le format float32 ait été la norme privilégiée pour les poids des modèles LLM, il est devenu évident, grâce à la recherche et au développement incessants, que d'autres formats peuvent offrir des performances supérieures. La transition vers le float16 a marqué une étape significative en proposant une structure plus compacte. Cependant, la véritable avancée s'est manifestée avec l'adoption de formats tels que int8 ou int4. Explications ! Les modèles LLM fonctionnent de manière simplifiée en exploitant les variations numériques au sein de matrices. Pendant longtemps, la recherche a supposé que la précision de la mesure de ces variations était indispensable. Les récents progrès de la connaissance démontrent que cette précision ne revêt pas une importance cruciale. Par conséquent, à l'instar du processus de quantification bien établi et utilisé dans les méthodes de numérisation des signaux, certaines versions des modèles les plus modernes intègrent une étape de quantification [9]. Cela permet de réduire la nécessité d'une précision élevée pour chaque nombre. Cette approche de moindre précision facilite l'utilisation de variables de type entier (int), ce qui, du point de vue informatique, est plus avantageux que l'emploi de variables à virgule flottante, réputées pour leur exigence en ressources. Les modèles ainsi calibrés demandent moins d'espace de stockage et sont compatibles avec les instructions assembleur les plus performantes, et ce, sur toutes les architectures connues.

Ces formats (int), tout en réduisant drastiquement l'utilisation de la mémoire, amplifient la vitesse de calcul. Opter pour des entiers, par opposition aux valeurs flottantes, est une démarche stratégique qui capitalise sur des instructions optimisées pour

les calculs, tout en minimisant l'espace occupé par les données. Dans cette perspective d'optimisation rigoureuse des ressources computationnelles, il est crucial de reconnaître l'importance et la pertinence des méthodologies de quantification qui dominent actuellement l'industrie :

- Quantification dynamique : Dans ce mode, les poids sont quantifiés en int avant l'inférence. Cependant, comme le réseau neuronal ne connaît pas les échelles et les points zéro des tenseurs de sortie ou d'activation, ces tenseurs restent des flottants. L'avantage est qu'aucune donnée n'est requise pour l'étalonnage avant l'inférence.

- Quantification statique : Ici, les échelles et les points zéro de tous les tenseurs d'activation sont calculés à l'avance, éliminant ainsi la surcharge du calcul dynamique. Le processus consiste à exécuter le réseau neuronal avec des données représentatives non étiquetées, à collecter des statistiques de distribution pour les couches d'activation, puis à calculer les échelles et les points zéro. Ce mode offre les performances d'inférence les plus rapides, mais nécessite des données non étiquetées représentatives.

Afin d'appréhender avec précision l'influence de la quantification sur la dimension des modèles, nous vous présentons ci-après un tableau illustratif. Il est essentiel de noter que les chiffres mentionnés sont approximatifs. Ils reflètent uniquement le poids du modèle post-transformation, sans tenir compte du poids des paramètres de transformation. Ces derniers peuvent être finement ajustés pour optimiser la performance globale du modèle en ajustant la fenêtre de quantification.

params	dimension	n heads	n layers	learning rate	batch size	n tokens
6.7B	4096	32	32	3.0e ⁻⁴	4M	1.0T
13.0B	5120	40	40	3.0e ⁻⁴	4M	1.0T
32.5B	6656	52	60	1.5e ⁻⁴	4M	1.4T
65.2B	8192	64	80	1.5e ⁻⁴	4M	1.4T

Table 2: Model sizes, architectures, and optimization hyper-parameters.

Figure 5: Model sizes, architectures, optimization hyper-parameters

Le principe de quantification peut être appliqué en phase d'entraînement et en phase de tuning. Il est toutefois généralement admis qu'une quantification en phase d'entraînement donne de meilleurs résultats. Toutefois, la puissance de calcul à notre disposition pour nos expérimentations ne nous a permis que la quantification en phase de tuning.

Dans notre cas, la quantification, embarquée dans le transformer, s'applique à toutes les matrices de poids du modèle d'attention ainsi qu'à la couche d'embarquement en sortie de tokeniser et à la couche neuronale dite Feedforward. L'équation de quantification appliquée pour 4 et 8 bits est :

$$quantize(W_{fp}, n) = round(((W_{fp} - \min(W_{fp})) \times \frac{2^n - 1}{\max(W_{fp}) - \min(W_{fp})})$$

Avec W_{fp} les matrices K, Q, V en float32
Et n le facteur de quantification.

Pour les modèles d'auto attention utilisant les matrices Q, K, V tel que:

$$Attention(Q, K, V) = softmax(\frac{QK^T}{(\tau)\sqrt{d_k}})V$$

Note: L'intérêt de τ n'est vrai que dans le cas d'une quantification sur 1 seul bit. Nous n'avons pas conduit d'expérience avec un tel niveau de quantification.

Les dernières publications disponibles montrent qu'une quantification sur entiers de 8 bits offre des performances de modèle extrêmement proche du modèle original en flottants 32 bits [10]. Outre l'aspect efficacité et simplicité de processing, ce procédé en 8 bits divise par 4 la taille du modèle. L'intérêt de cette approche est donc considérable.

Pour d'avantage de détails, voir ces publications [8] et [11]

3 Difficultés associées à la génération automatique de fichiers YAML Ansible à l'aide des LLM

La génération automatique de fichiers YAML pour Ansible à partir de descriptions textuelles humaines à l'aide des Modèles de Langage à Grande Échelle (LLM) présente un ensemble unique de défis. Ces défis, qui vont de la création même du fichier à la qualité du code généré, sont préalablement essentiels à comprendre pour pouvoir développer une solution viable. Dans cette section, nous détaillerons les principales difficultés associées à cette tâche.

3.1 Écriture du fichier par le LLM

La première difficulté réside dans la création même du fichier YAML par le LLM. Cela implique non seulement de trouver la bonne formulation de la requête au LLM (prompt) pour obtenir les meilleurs résultats, mais aussi de sélectionner un modèle adapté. Le modèle choisi doit être capable de fonctionner dans les contraintes spécifiées et de générer le contenu souhaité de manière efficace. Le défi du "prompt engineering" est particulièrement crucial car le prompt initial détermine en grande partie la qualité et la pertinence du texte généré.

3.2 Limitation du contexte

Les LLM basés sur l'architecture Transformer, bien que puissants, ont des limites inhérentes en termes

de capacités de contexte. A titre informatif, un prompt élaboré peut rapidement atteindre entre 256 et 512 tokens et grandit rapidement si l'on ajoute des exemples ou de la documentation. Étant donné que les réponses attendues peuvent être longues et nécessiter de nombreux tokens, cela limite considérablement la taille du prompt initial. Cette contrainte affecte significativement la qualité et la précision du fichier YAML généré. (expliquer le lien entre contexte et token)

3.3 Définition d'une "description" appropriée

Un fichier YAML est intrinsèquement descriptif, contenant souvent plus d'informations par rapport à sa taille que d'autres types de documents. Par conséquent, définir ce qu'est une "bonne" description pour un fichier YAML est un défi. Une description trop détaillée rend l'utilisation d'un LLM redondante, car la conversion d'une telle description en un fichier YAML serait relativement simple. À l'inverse, une description trop succincte ne fournirait pas suffisamment d'informations au LLM pour générer un fichier approprié. Optimiser la description d'un fichier pour le rendu YAML est une nécessité. En construisant un éventail diversifié de fichiers et leurs descriptions, nous pourrions adapter (fine tuning) le modèle pour une meilleure génération de YAML. Pour les entreprises, cette évolution signifie une plus grande fiabilité et une efficacité opérationnelle améliorée.

3.4 Traitement de la donnée générée

Une fois le fichier généré, son traitement s'avère complexe. Ce qui est produit est essentiellement une longue chaîne de caractères. Pour un humain, déterminer où commence et se termine le code est simple, mais pour un modèle, cela peut être plus délicat. Certains modèles ont tendance à encadrer le code entre deux séquences "```", facilitant ainsi son identification. Cependant, ce n'est pas toujours le cas, rendant la délimitation du code généré plus difficile. Ce fait s'avère d'autant plus signifiant que certains modèles peuvent avoir tendance à générer de multiples sections de codes entrecoupées d'explications ou de commentaires qui rendent le traitement automatique plus complexe.

3.5 Qualité du code généré

La dernière, mais non la moindre des difficultés, concerne la qualité du code généré. Nous avons fréquemment observé pendant nos expérimentations que le code peut ressembler à du YAML en apparence, mais manquer de cohérence interne. Après de nombreuses itérations et améliorations, le code peut devenir plus cohérent. Cependant, il n'est pas rare de trouver des erreurs subtiles, telles qu'un module appelé qui n'existe pas ou un paramètre mal renseigné. Les erreurs de paramètres sont présentes dans notre

situation d’emploi pour Ansible du fait de l’utilisation de bibliothèques de modules Ansible qui offrent et impliquent une grammaire propre à chacun d’eux. Le code YAML ainsi généré doit donc s’adapter à ces grammaires et orthographies. A date, ces erreurs nécessitent encore une expertise approfondie en YAML pour être détectées et ajoutent de la complexité à la phase de génération du code. Avec l’amélioration continue des LLM, notamment en termes de gestion du contexte et de précision, nous anticipons des avancées significatives dans la qualité du code généré notamment pour YAML avec Ansible. Pour les entreprises, cette progression se traduira par une automatisation plus robuste, garantissant un code de haute qualité et moins d’erreurs. Il paraît donc crucial de continuer à explorer les possibilités offertes par les LLM.

4 vLLM

4.1 Présentation du modèle

vLLM est une solution technique conçue pour faciliter l’interaction avec les Modèles de Langage à Grande Échelle (LLM). Elle est spécifiquement conçue pour s’intégrer harmonieusement avec Python, offrant ainsi une interface intuitive pour les développeurs.

Le projet vLLM est hébergé sur GitHub et est accompagné d’une documentation complète disponible sur ReadTheDocs [12]. Cette documentation couvre des sujets tels que l’installation, la mise en route rapide, les modèles pris en charge, et fournit également des exemples pour aider les utilisateurs à démarrer.

4.2 Constat

Lorsqu’on évalue les outils destinés à faciliter le travail avec les LLM, vLLM se révèle être une option attrayante, notamment grâce à sa compatibilité native avec Python. Cependant, chaque solution a ses propres spécificités et, dans le cas de vLLM, une limitation notable est son incapacité à gérer la quantification. Cette caractéristique restreint son utilisation au modèle LLaMa-7B, étant donné les contraintes matérielles spécifiques du projet. Il est également à noter que les infrastructures d’où nous disposons pour notre expérimentation ne sont pas adaptées pour héberger une version serveur de vLLM, ce qui ajoute une couche supplémentaire de limitation.

4.3 Leçon

L’exploration approfondie de vLLM a mis en lumière l’importance cruciale de la sélection d’outils adaptés dans le domaine de l’intelligence artificielle. Chaque outil, aussi performant soit-il, possède ses propres spécificités et limitations. vLLM, malgré sa robustesse et sa facilité d’intégration, a montré certaines contraintes qui ont entravé notre capacité à obtenir des résultats satisfaisants pour le projet en question.

Il est donc primordial, lors de la conception d’un projet, de s’assurer que les outils choisis correspondent parfaitement aux exigences et aux objectifs fixés.

4.4 Conclusion

vLLM se distingue comme une solution technique de premier plan pour l’interaction avec les Modèles de Langage à Grande Échelle, en particulier pour les adeptes de l’environnement Python. Sa conception intuitive, couplée à une documentation exhaustive, en fait un candidat de choix pour de nombreux projets en intelligence artificielle. Cependant, chaque outil, aussi sophistiqué soit-il, présente ses propres défis. Dans le cadre de notre projet, malgré les promesses initiales de vLLM, les contraintes matérielles et les limitations du modèle ont conduit à la décision de ne pas l’adopter comme solution principale.

5 Llama cpp

5.1 Présentation du modèle

Llama CPP est une implémentation en C++ de Llama conçue pour exécuter des modèles LLM avec quantification (<https://github.com/ggerganov/llama.cpp>). Cette bibliothèque offre une alternative robuste aux implémentations Python courantes, en offrant des avantages significatifs en termes de performance et d’intégration. Bien que l’intégration avec Python puisse être plus complexe, les avantages en matière de vitesse d’exécution et d’efficacité compensent largement ce défi.

5.2 Constat

L’adoption de Llama CPP dans le cadre de la mise en œuvre des Modèles de Langage à Grande Échelle (LLM) a révélé plusieurs constats significatifs. Tout d’abord, malgré la difficulté initiale d’utilisation, cette approche a démontré une supériorité en termes de performance. En effet, il était pratiquement impossible de faire fonctionner n’importe quel modèle sans recourir à une forme de quantification. Cette observation est cohérente avec les informations fournies dans le dépôt GitHub de Llama CPP, qui met en avant l’importance de la quantification pour optimiser les performances et la consommation de ressources.

De plus, une analyse méticuleuse et détaillée a mis en lumière une nuance relativement faible en termes de pertinence entre les versions quantifiées en Int4 et Int8. Cela suggère que, pour certaines applications, la transition de Int8 à Int4 peut être effectuée sans compromettre significativement la qualité des résultats. Cependant, des différences notables ont été observées entre les quantifications de model 7b et 13b, indiquant que le choix de la quantification pour exploiter pleinement le potentiel d’un modèle 13b devient une stratégie incontournable pour maximiser la précision des réponses.

5.3 Leçon

La mise en œuvre de Llama CPP a offert plusieurs enseignements précieux. La quantification, malgré les pertes potentielles liées aux simplifications, s'est avérée essentielle pour faire fonctionner des LLM avec des ressources limitées. Cela souligne l'importance de disposer d'outils et de méthodologies appropriés pour gérer et optimiser les modèles LLM, en particulier dans des environnements où les ressources matérielles peuvent être contraintes.

L'expérience avec Llama CPP a également mis en évidence l'importance de la documentation et de la formation. Bien que la bibliothèque offre des avantages significatifs en termes de performance, sa courbe d'apprentissage peut être abrupte pour ceux qui ne sont pas familiers avec les nuances de la quantification et de l'optimisation des LLM. Il est donc essentiel de fournir une documentation complète et des exemples pratiques pour faciliter l'adoption et l'intégration de la bibliothèque dans des projets professionnels.

5.4 Conclusion

En conclusion, Llama CPP se présente comme une solution technique robuste pour la mise en œuvre et l'optimisation des LLM. Son adoption nécessite une compréhension approfondie de la quantification et de ses implications, mais les avantages en termes de performance et d'efficacité en font un choix judicieux pour les entreprises cherchant à exploiter pleinement le potentiel des LLM.

6 LLaMA 7b

6.1 Présentation du modèle

Le modèle LLaMA 7B de Meta AI [13] se distingue par son faible nombre de paramètre, une prouesse technique dans ce domaine. Il représente une avancée significative dans le domaine des LLM. Cette collection de modèles, avec des tailles allant de 7B à 70B de paramètres, a été formée sur des trillions de tokens. Ce qui est remarquable avec LLaMA est qu'il utilise exclusivement des ensembles de données accessibles au public. Cette approche ouverte contraste avec d'autres modèles populaires qui dépendent souvent de données propriétaires ou inaccessibles.

Dans le monde professionnel actuel, où l'agilité et la rapidité d'exécution sont essentielles, LLaMA 7B se présente comme une solution optimale qui se veut pour les entreprises. Bien que sa taille soit plus réduite par rapport à d'autres modèles tels que GPT-3, cette compacité est en réalité un atout majeur. LLaMA 7B, avec sa structure allégée, permet une exécution plus rapide et nécessite moins de ressources, ce qui le rend particulièrement adapté aux environnements où l'efficacité opérationnelle est primordiale. De plus, sa formation sur des données ouvertes renforce sa transparence, un critère de plus en plus valorisé.

6.2 Constat

Dans le vaste écosystème des modèles de langage, LLaMA 7B se distingue par sa compacité. Sa taille réduite le rend particulièrement attrayant pour des déploiements sur des machines aux ressources limitées, offrant ainsi une flexibilité opérationnelle sans précédent. Cette caractéristique permet aux entreprises de bénéficier de l'intelligence artificielle sans avoir besoin d'infrastructures lourdes ou coûteuses.

Cependant, comme toute médaille a son revers, la taille compacte de LLaMA 7B, bien qu'avantageuse en termes d'efficacité opérationnelle, présente des défis en matière de capacité de traitement. Lorsqu'il est confronté à des tâches nécessitant une compréhension approfondie ou la génération de réponses longues et nuancées, le modèle montre rapidement ses limites. De plus, il a tendance à être restreint par la taille du contexte, ce qui peut le rendre moins adapté à des tâches nécessitant une analyse détaillée de grands volumes de données. Ainsi, lors de la génération de contenus plus élaborés, il peut parfois répéter certaines informations, ce qui peut compromettre la clarté et la précision de la sortie.

Un exemple révélateur de génération de code YAML effectué par LLaMA 7B est disponible en annexes.

6.3 Leçon

Lorsque nous abordons la question de la génération de fichiers Ansible en format YAML, il est impératif de considérer les spécificités et les exigences techniques associées à cette tâche. Ansible, étant un outil d'automatisation IT de premier plan, repose sur des fichiers YAML qui doivent être méticuleusement structurés et exempts d'erreurs pour garantir une exécution sans faille.

Dans ce contexte, notre exploration du modèle LLaMA 7B a révélé certaines nuances importantes. Bien que ce modèle soit doté d'une capacité impressionnante à traiter et à générer du texte dans divers domaines, il présente des défis lorsqu'il est sollicité pour des tâches de grande envergure ou de haute précision. L'une des observations notables était la tendance du modèle à réitérer certaines portions de texte lorsqu'il est confronté à des demandes de génération complexes ou prolongées. Cette répétition, bien qu'elle puisse sembler mineure dans des contextes plus généraux, peut s'avérer problématique dans le cadre précis de la génération de fichiers YAML pour Ansible.

Il est donc essentiel de reconnaître que, bien que LLaMA 7B soit une prouesse technologique en soi, son application à des domaines nécessitant une certaine précision, tels que la création de fichiers Ansible, nécessite une évaluation minutieuse. Dans un environnement professionnel où chaque détail compte, il est de notre responsabilité de garantir que les outils que nous employons sont parfaitement adaptés aux tâches qu'ils sont censés accomplir.

6.4 Conclusion

Face à notre problème de génération de fichiers Ansible en YAML avec une certaine précision et fiabilité, il est impératif de reconsidérer l'outil. Bien que LLaMA 7B soit une prouesse technologique en soi, son application dans le domaine spécifique de la génération de fichiers Ansible est plus compliquer. La complexité et la finesse requises pour cette tâche pourraient bénéficier d'un modèle doté d'une capacité de traitement supérieure et d'une gestion du contexte plus sophistiquée. Il serait judicieux d'explorer l'utilisation d'un modèle de langage plus avancé et robuste que LLaMA 7B. Un tel modèle, armé d'une meilleure compréhension contextuelle, serait en mesure de produire des fichiers YAML meilleurs sur le plan syntaxique, mais également sur l'intégration avec Ansible.

En conclusion, alors que nous reconnaissions les capacités de LLaMA 7B, le besoin de fiabilité de la production nous pousse à envisager des alternatives plus adaptées pour répondre aux exigences de la génération de fichiers Ansible en YAML.

7 LLaMA 13b

7.1 Présentation du modèle

Au sein de l'univers des Modèles de Langage à Grande Échelle (LLM), LLaMA 13B, conçu par Meta AI [13], se manifeste comme une progression significative par rapport à son homologue, LLaMA 7B. LLaMA 13B se distingue par des spécificités qui le rendent plus adapté à des usages professionnels pointus.

Doté de 13 milliards de paramètres, LLaMA 13B vise à dépasser les modèles précédents en termes de performance tout en optimisant l'efficacité opérationnelle. D'après la documentation scientifique examinée, LLaMA 13B excelle face à GPT-3 (175B) dans de nombreux benchmarks, malgré une taille considérablement plus réduite. Cette prouesse est d'autant plus impressionnante que, à l'instar de LLaMA 7B, LLaMA 13B a été entraîné uniquement sur des ensembles de données ouverts, assurant une transparence plus importante.

L'avantage principal de LLaMA 13B réside dans sa capacité à délivrer des résultats de premier ordre tout en étant dix fois moins volumineux que certains de ses concurrents. Cette compacité, alliée à sa haute performance, le positionne comme une solution crédible pour les entreprises où réactivité et précision sont importantes. De surcroît, sa faculté à opérer sur un simple GPU facilite son intégration dans divers contextes, rendant ainsi les LLM haut de gamme plus accessible.

7.2 Constat

Lorsqu'on compare LLaMA-7B à LLaMA-13B, la distinction majeure réside dans le nombre

de paramètres. Cependant, cette augmentation quantitative se traduit par une amélioration qualitative significative des capacités de LLaMA-13B. En effet, ce dernier modèle démontre une aptitude supérieure à générer des textes avec une précision accrue. Toutefois, il est essentiel de souligner que, bien que le YAML généré par LLaMA-13B ait l'apparence structurelle du YAML, son contenu s'écarte parfois de la sémantique attendue.

7.3 Leçon

LLaMA-13B se distingue en montrant l'impact significatif du nombre de paramètres sur la qualité d'un modèle du a ces performance accrue comparer à son homologue LLaMA-7B. Son architecture raffinée démontre que l'augmentation des paramètres peut mener à des avancées spectaculaires en termes de précision. Cependant, malgré sa petite taille, LLaMA-13B reste capable de rivaliser avec des géants comme GPT-3 (175B). Il semble ainsi offrir une solution viable pour les entreprises soucieuses d'efficacité et de performance.

7.4 Conclusion

Bien que LLaMA-13B soit une avancée significative par rapport à son homologue, LLaMA-7B, en termes de capacités et de précision, il est essentiel de noter que la génération de fichiers YAML reste un défi. Malgré les progrès impressionnantes réalisés par LLaMA-13B, notre expérimentation montre que les fichiers YAML générés ne répondent pas encore pleinement à nos exigences qualitatives.

8 Alpaca 13B

8.1 Présentation du modèle

Alpaca 13b est un modèle de langage à grande échelle développé par le Stanford Center for Research in Foundation Models (CRFM) [14] [15]. Il s'agit d'une évolution du modèle Llama 13b, ayant bénéficié d'un entraînement supplémentaire pour améliorer sa performance. Plus précisément, Alpaca a été formé en récupérant les réponses du modèle text-davinci-3.5 à un ensemble de requêtes. Ces données ont ensuite été utilisées pour effectuer un fine-tuning sur Llama, aboutissant à la création d'Alpaca.

Le modèle Alpaca 13b a été conçu pour comprendre et répondre de manière plus précise aux requêtes, grâce à l'entraînement supplémentaire qu'il a reçu. Cette capacité le rend particulièrement adapté à des tâches spécifiques, évitant au modèle de se perdre dans des réponses trop générales et peu pertinentes.

8.2 Constat

Lors de nos expérimentations approfondies, nous avons constaté que le modèle Alpaca 13b présente

des performances distinctes, notamment dans la génération de réponses précises, par rapport à Llama 13b. Cette différence est perceptible, en particulier lorsqu'Alpaca 13b est confronté à des requêtes. Cette capacité peut être attribuée à la structure des requêtes utilisées lors du fine-tuning d'Alpaca. Cette formation spécifique semble orienter Alpaca 13b vers une meilleure adéquation avec les requêtes, rendant moins probable les erreurs de type réponses répétant l'entrée ou celle complètement hors sujet. Cependant le modèle se heurte toujours à des difficultés face à notre tâche de génération de fichier YAML pour Ansible.

Un exemple révélateur de génération de code YAML effectué par Alpaca 13B est disponible en annexe.

8.3 Leçon

L'expérience avec Alpaca 13b souligne l'importance du fine-tuning dans le développement de modèles de langage. Même si le fine-tuning n'est pas effectué directement sur les données cibles, il peut grandement améliorer la qualité des réponses du modèle. Cela suggère que l'adaptation d'un modèle à des tâches spécifiques, même indirectement, peut conduire à des performances nettement supérieures.

8.4 Conclusion

Le fine-tuning est un élément essentiel pour garantir la pertinence des réponses d'un modèle de langage. Il est donc crucial de sélectionner judicieusement les données sur lesquelles le modèle est affiné. Avec Alpaca 13b, nous avons un outil puissant qui, grâce à son entraînement spécifique, peut générer des réponses plus précises et pertinentes. Cependant, malgré ces améliorations, le modèle Alpaca 13b n'est pas encore en mesure de générer des fichiers YAML pour Ansible avec une précision suffisante.

9 LLaMA-2 13B

9.1 Présentation du modèle

LLaMA-2 [16] [17], la dernière itération du modèle LLaMA, est une réalisation majeure de Meta, anciennement connue sous le nom de Facebook. LLaMA-2 se distingue de sa version précédente par une série d'améliorations significatives. Non seulement il offre une pertinence accrue dans ses réponses, mais il présente également une capacité de contexte élargie, capable de gérer jusqu'à 4K tokens. Cette capacité renforcée est particulièrement bénéfique pour des applications nécessitant une compréhension approfondie, telles que la génération de fichiers YAML pour Ansible.

Un aspect crucial de LLaMA-2 est son entraînement en version chat. Les modèles fine-tuned pour le chat ont été spécifiquement formés pour des applications

de dialogue. Pour obtenir les caractéristiques et performances attendues de ces modèles, une mise en forme spécifique, définie dans la documentation de chat-completion, doit être suivie. Mais ce qui rend LLaMA-2 particulièrement unique est son approche d'entraînement. Le modèle a bénéficié d'un feedback humain, ce qui a permis d'affiner ses réponses et d'augmenter sa pertinence. Cette interaction humaine a joué un rôle crucial dans l'optimisation du modèle, lui permettant de mieux comprendre et répondre aux requêtes complexes, tout en conservant une nuance humaine dans ses réponses.

En conclusion, LLaMA-2 n'est pas simplement une mise à jour de son prédecesseur, mais une refonte complète, intégrant des avancées technologiques et des retours humains pour offrir un outil de pointe dans le domaine de l'intelligence artificielle.

9.2 Constat

Dans le cadre de notre exploration technologique, nous avons choisi d'intégrer la version chat de LLaMA-2. Cette version spécifique du modèle a bénéficié d'un affinage méticuleux, conçu pour simuler et répondre à des interactions. Cet ajustement fin a permis d'obtenir des réponses d'une pertinence remarquable, reflétant une compréhension profonde des requêtes soumises.

Lors de nos tests, nous avons constaté que le code YAML généré par le modèle commençait à présenter une structure et une logique plus cohérentes, s'approchant de ce que l'on pourrait attendre. Bien que certains segments du code généré nécessitent encore des ajustements pour être pleinement opérationnels, l'amélioration est indéniable et prometteuse.

De plus, l'extension de la capacité de contexte de LLaMA-2 à 4K tokens a ouvert de nouvelles avenues pour le "prompt engineering". Cette capacité élargie nous a permis d'intégrer des échantillons de code YAML directement dans le prompt, bien que de manière concise. Cette stratégie s'est avérée bénéfique, car elle a influencé positivement la qualité des sorties, rendant les résultats plus alignés avec nos attentes professionnelles.

Nous avons livré en annexe de cette publication trois exemples de génération YAML produits par LLaMA-2.

Le constat est que sur tous les exemples fournis on remarque une répétition du prompt non demandé par rapport au "Remove unsecure packages". De plus, le premier exemple fourni montre de multiples zones de code ce qui complique la tâche de sélection d'un possible utilisateur. On constate néanmoins que ce phénomène de répétition ne s'est reproduit qu'une seule fois lors du tir fourni en exemple numéro 2. On remarquera également que ce phénomène ne s'est pas produit lors du troisième tir d'exemple. Les résultats sont donc humainement acceptables mais le caractère non idempotent de la sortie ne permettra une industrialisation d'emploi qu'au prix d'un effort significatif de développements complémentaires.

9.3 Leçon

Cela ne surprendra pas le lecteur de notre part, mais nous pensons que l'évolution constante des modèles de langage, telle que celle observée avec LLaMA-2, nous rappelle l'importance de la recherche et de l'innovation continues. A cet égard, nous accepterons avec plaisir de nouveaux crédits de recherches et d'innovations ;-). Pour revenir à notre sujet, lorsque nous examinons les capacités intrinsèques de LLaMA-2, il est indéniable que sa performance est remarquable, en particulier après le fine-tuning spécifiquement orienté vers les interactions de type chat, ou l'agrandissement du contexte. Ces optimisations lui confèrent une aptitude à répondre avec une précision et une pertinence accrues.

Cependant, en abordant le défi complexe de la génération de fichiers YAML, nous sommes confrontés à une réalité nuancée. Bien que LLaMA-2 excelle dans de nombreux domaines, la génération précise de YAML nous rappelle que chaque tâche a ses spécificités et ses nuances. Cela ne minimise en rien les prouesses de LLaMA-2, mais souligne plutôt l'importance de l'adaptabilité et de la spécialisation des tuning et modèle. Le modèle génère en effet régulièrement des erreurs de redite de prompt ou de grammaire, en particulier sur le difficile sujet des modules Ansible.

9.4 Conclusion

LLaMA-2 est un modèle exceptionnel qui a montré son potentiel lors de nos nombreux tests. Néanmoins, dans notre contexte de génération de fichiers Ansible en YAML, bien que les résultats soient prometteurs, ils ne sont pas encore totalement satisfaisants.

10 CodeUp 13B chat

10.1 Présentation du modèle

CodeUp [18] est modèle open-source spécifiquement conçu pour le domaine du code, mettant l'accent sur des données d'instructions de haute qualité pour la génération de code.

CodeUp est une évolution du modèle Llama2 13b dont l'approche générale d'amélioration est sensiblement la même que le modèle Alpaca[14]. Le modèle LLaMA-13B a ainsi subi un fine-tuning pour se spécialiser dans le domaine du code. Cette spécialisation a été réalisée sur une carte graphique RTX 3090, démontrant ainsi la possibilité d'entrainer des modèles de cette envergure sur du matériel grand public.

Un nouvelle entraînement sur des données d'entrées améliorées est en cours (https://huggingface.co/datasets/rombodawg/Legacy_MegaCodeTraining200k)

10.2 Constat

La distinction entre Llama2 13b et CodeUp 13b est particulièrement frappante. En plongeant dans les nuances de la génération de code, nous constatons que CodeUp 13b excelle, même dans des langages tels que le YAML, qui n'était pas dans son entraînement. Cette performance est d'autant plus remarquable lorsque l'on considère les ressources matérielles sur lesquelles le modèle a été affiné. L'utilisation d'un matériel aussi accessible que la RTX 3090, et pourtant capable de produire des résultats aussi sophistiqués, témoigne de l'efficacité optimisée de CodeUp et de la pertinence des choix de l'équipe LlaMA-2.

En outre, cette observation souligne l'importance de la spécialisation dans le domaine du code. Alors que de nombreux modèles se concentrent sur une gamme d'applications plus large, la focalisation ciblée de CodeUp lui permet de combler les lacunes laissées par d'autres modèles plus généralistes. Pour les entreprises cherchant à intégrer des solutions d'intelligence artificielle dans leurs processus, cette spécialisation offre une valeur ajoutée inestimable, garantissant une précision et une pertinence accrues dans les tâches liées au code.

10.3 Leçon

L'efficacité du fine-tuning, lorsqu'il est appliqué avec précision et expertise, est manifeste dans les résultats obtenus. CodeUP en est un nouvel exemple. Cette technique, bien qu'elle puisse sembler simple en surface, a le potentiel de transformer radicalement la performance d'un modèle, le rendant plus adapté et pertinent pour des tâches spécifiques. Dans le contexte professionnel, où la précision et la pertinence sont essentielles, l'importance de telles optimisations ne saurait être sous-estimée. En investissant dans des méthodes de fine-tuning ciblées, les entreprises peuvent non seulement améliorer la qualité de leurs outils basés sur l'IA, mais aussi réaliser des gains d'efficacité significatifs. C'est assurément la ligne à suivre pour notre résoudre notre problème.

10.4 Conclusion

CodeUp se distingue par sa capacité à produire du YAML d'une qualité quasi-optimale. Toutefois, il convient de noter que, malgré ses performances impressionnantes, le modèle présente certaines lacunes, en particulier en ce qui concerne l'utilisation de modules spécifiques. Il faudrait donc probablement produire un entraînement mieux alimenté en grammaire et orthographe des modules Ansible pour que les résultats soient d'une qualité suffisante pour envisager une production.

11 Conclusions de l'étude

A travers notre expérience avec CodeUp et l'ensemble de nos tests, l'importance cruciale d'un fine-tuning soigneusement adapté est devenue indiscutables. Lorsque cette optimisation est judicieusement combinée à des avancées en matière de contexte et de conception de prompts, les résultats obtenus surpassent nettement ceux de modèles antérieurs tels que Llama 7b. Cette conclusion souligne non seulement le potentiel des approches tel que Alpaca et surtout CodeUp pour les entreprises cherchant à automatiser la génération de code, mais aussi l'évolution constante et prometteuse des modèles de langage à grande échelle dans le domaine professionnel.

12 What's next ?

12.1 La recherche de l'optimisation

Les architectures Transformer se sont imposées. Cependant, avec leur succès, vient aussi le défi de gérer la complexité croissante de ces modèles, qui peut se traduire par des exigences en termes de puissance de calcul et de mémoire. De plus, il est évident qu'il faut maintenant les optimiser drastiquement pour satisfaire aux modalités d'emploi dans l'embarqué ou l'informatique personnel autant que pour des questions énergétiques. C'est là que des approches novatrices d'optimisation, telles que les techniques de low-rank matrix [3] et les modèles Linformer [19], entrent en jeu pour améliorer l'efficacité et la scalabilité des Transformers. Les techniques de low-rank matrix se concentrent sur la réduction de la complexité en identifiant les structures redondantes ou les relations linéaires entre les éléments des matrices de poids du modèle. En utilisant des approximations de matrices à faible rang, ces approches réduisent le nombre de paramètres et les opérations nécessaires, ce qui se traduit par une réduction significative des ressources computationnelles et de la mémoire requise.

Le modèle Linformer s'attaque au problème de l'efficacité des Transformers en réduisant les calculs inutiles de self-attention sur des positions distantes. Au lieu de calculer des scores d'attention entre chaque paire de positions, le Linformer se concentre sur les relations locales, en utilisant une approximation linéaire pour estimer les relations distantes. Cette méthode permet de réduire considérablement le coût computationnel de l'attention, tout en maintenant une qualité acceptable des prédictions.

Ces approches optimisées, qu'elles soient basées sur des matrices à faible rang ou des approximations d'attention, offrent des avantages significatifs en termes de vitesse et d'efficacité pour les Transformers. Elles permettent d'accélérer l'entraînement et l'inférence, d'élargir la portée des applications possibles et de faciliter le déploiement sur des ressources limitées. Tout en équilibrant la complexité et les performances,

ces approches optimisées s'inscrivent dans la tendance actuelle de recherche et de développement visant à rendre l'apprentissage automatique plus accessible et plus viable dans le monde réel.

12.2 L'explicabilité

L'explicabilité en intelligence artificielle (IA) est devenue une quête cruciale dans le développement de modèles complexes et sophistiqués, tels que les réseaux de neurones profonds et les architectures transformer. Alors que ces modèles atteignent des performances exceptionnelles dans un large éventail de tâches, leur fonctionnement interne reste souvent obscur, ce qui soulève des questions fondamentales sur la confiance, la redevabilité et la compréhension de leurs décisions.

L'explicabilité vise à répondre à ces préoccupations en fournissant des moyens de rendre les modèles d'IA plus transparents et compréhensibles pour les praticiens, les chercheurs et les utilisateurs. Une approche consiste à révéler comment les modèles prennent leurs décisions en examinant les relations entre les entrées et les sorties, ainsi que les mécanismes internes qui mènent à ces résultats. Cela permet de démystifier le processus de prise de décision des modèles complexes et d'identifier les facteurs qui influencent leurs prédictions.

Un exemple qui illustre la valeur de l'explicabilité en éclairant le fonctionnement des architectures Transformer à grande échelle est celui du Neural Tangent Kernel (NTK)[20]. Le NTK est un outil théorique qui offre une perspective unique sur la manière dont les réseaux de neurones profonds, y compris les Transformers, évoluent à mesure que leur taille augmente considérablement. Dans le cas des Transformers, le NTK aide à décomposer et à analyser les relations entre les entrées, les paramètres du modèle et les sorties, en particulier lorsque la taille du modèle tend vers l'infini.

En utilisant le NTK, les chercheurs ont pu comprendre comment les mécanismes clés tels que l'attention et le feed-forward interagissent pour capturer des relations complexes dans les données. Le NTK permet de dégager des tendances asymptotiques, révélant comment le modèle se comporte lorsque les paramètres sont en grand nombre. Cette approche théorique éclaire les caractéristiques et les limites des Transformers, contribuant ainsi à une meilleure compréhension de leur fonctionnement à l'échelle.

En conclusion, l'explicabilité en IA, illustrée par des outils théoriques tels que le Neural Tangent Kernel, joue un rôle essentiel pour rendre les architectures de pointe, comme les Transformers, plus accessibles et compréhensibles. Elle offre des moyens d'interpréter les interactions complexes entre les entrées, les paramètres et les sorties, tout en fournissant des éclairages sur la manière dont ces modèles se comportent à grande échelle. Cette quête d'explicabilité est cruciale pour établir la confiance dans l'IA et pour promouvoir une utilisation éthique et responsable de ces puissants outils technologiques.

References

- [1] RedHat Inc. Ansible lightspeed powered by ibm watson, 2023. <https://www.redhat.com/en/about/press-releases/red-hat-introduces-ansible-lightspeed-ai-driven-it-automation>.
- [2] Ashish Vaswani, Noam Shazeer, Niki Parmar, Jakob Uszkoreit, Llion Jones, Aidan N. Gomez, Lukasz Kaiser, and Illia Polosukhin. Attention is all you need, 2023.
- [3] Zilong Huang, Youcheng Ben, Guozhong Luo, Pei Cheng, Gang Yu, and Bin Fu. Shuffle transformer: Rethinking spatial shuffle for vision transformer, 2021.
- [4] Sainbayar Sukhbaatar, Edouard Grave, Guillaume Lample, Herve Jegou, and Armand Joulin. Augmenting self-attention with persistent memory, 2019.
- [5] Mor Geva, Roei Schuster, Jonathan Berant, and Omer Levy. Transformer feed-forward layers are key-value memories, 2021.
- [6] Noam Shazeer. Glu variants improve transformer, 2020.
- [7] Meta. Feed forward in llma2, 2023. <https://github.com/facebookresearch/llama/blob/ea9f33d6d3ea8ed7d560d270986407fd6c2e52b7/llama/model.py#L212C2-L212C56>.
- [8] Lei Mao. Neural networks integer quantization modes, 2023. <https://leimao.github.io/article/Neural-Networks-Quantization/#Neural-Networks-Integer-Quantization-Modes>.
- [9] Elias Frantar, Saleh Ashkboos, Torsten Hoefer, and Dan Alistarh. Gptq: Accurate post-training quantization for generative pre-trained transformers, 2023.
- [10] Tim Dettmers, Mike Lewis, Younes Belkada, and Luke Zettlemoyer. Llm.int8(): 8-bit matrix multiplication for transformers at scale, 2022.
- [11] Chaofei Fan. Quantized transformer, 2019. <https://web.stanford.edu/class/archive/cs/cs224n/cs224n.1194/reports/custom/15742249.pdf>.
- [12] vLLM Team. Easy, fast, and cheap llm serving for everyone, 2023. <https://vllm.readthedocs.io/en/latest/index.html>.
- [13] Hugo Touvron, Thibaut Lavril, Gautier Izacard, Xavier Martinet, Marie-Anne Lachaux, Timothée Lacroix, Baptiste Rozière, Naman Goyal, Eric Hambro, Faisal Azhar, Aurelien Rodriguez, Armand Joulin, Edouard Grave, and Guillaume Lample. Llama: Open and efficient foundation language models, 2023.
- [14] Stanford Alpaca. Alpaca: A strong, replicable instruction-following model, 2023. <https://crfm.stanford.edu/2023/03/13/alpaca.html>.
- [15] Stanford Alpaca. Git project alpaca: A strong, replicable instruction-following model, 2023. https://github.com/tatsu-lab/stanford_alpaca.
- [16] Meta IA. Git project inference code for llama models, 2023. <https://github.com/facebookresearch/llama>.
- [17] Hugo Touvron, Louis Martin, Kevin Stone, Peter Albert, Amjad Almahairi, Yasmine Babaei, Nikolay Bashlykov, Soumya Batra, Prajjwal Bhargava, Shruti Bhosale, Dan Bikel, Lukas Blecher, Cristian Canton Ferrer, Moya Chen, Guillem Cucurull, David Esiobu, Jude Fernandes, Jeremy Fu, Wenyin Fu, Brian Fuller, Cynthia Gao, Vedanuj Goswami, Naman Goyal, Anthony Hartshorn, Saghar Hosseini, Rui Hou, Hakan Inan, Marcin Kardas, Viktor Kerkez, Madian Khabsa, Isabel Kloumann, Artem Korenev, Punit Singh Koura, Marie-Anne Lachaux, Thibaut Lavril, Jenya Lee, Diana Liskovich, Yinghai Lu, Yuning Mao, Xavier Martinet, Todor Mihaylov, Pushkar Mishra, Igor Molybog, Yixin Nie, Andrew Poulton, Jeremy Reizenstein, Rashi Rungta, Kalyan Saladi, Alan Schelten, Ruan Silva, Eric Michael Smith, Ranjan Subramanian, Xiaoqing Ellen Tan, Bin Tang, Ross Taylor, Adina Williams, Jian Xiang Kuan, Puxin Xu, Zheng Yan, Iliyan Zarov, Yuchen Zhang, Angela Fan, Melanie Kambadur, Sharan Narang, Aurelien Rodriguez, Robert Stojnic, Sergey Edunov, and Thomas Scialom. Llama 2: Open foundation and fine-tuned chat models, 2023.
- [18] Juyong Jiang and Sunghun Kim. Codeup: A multilingual code generation llama2 model with parameter-efficient instruction-tuning. <https://github.com/juyongjiang/CodeUp>, 2023.
- [19] Sinong Wang, Belinda Z. Li, Madian Khabsa, Han Fang, and Hao Ma. Linformer: Self-attention with linear complexity, 2020.

- [20] Arthur Jacot, Franck Gabriel, and Clément Hongler. Neural tangent kernel: Convergence and generalization in neural networks, 2020.

13 Annexes

13.1 Annexe 1: Llama 7b

```
1 [PROMPT] :
2 Below is an instruction that describes a task, paired with an input that
   provides further context. Write a response that appropriately completes
   the request.
3
4 ### Instruction:
5 Make a details plan of how to configure an architecture of a ansible yaml
   file base on the input as an expert in Ansible with Yaml language. It
   should explain in detaile how the file should be structured describing
   each tasks with a small description that should include the name of the
   task, what it should do and what function it should use.
6 ### Input:
7 Ansible Yaml file should contain tasks that are intended to be used for the
   role 'role_anssi_linux'. The tasks should include remount_all,
   reload_sysctl, restart_auditd, restart_fail2ban, restart_sshd,
   restart_firewalld, and if possible, using Ansible built-in functions.
   The arguments for these functions should be specified, if applicable.
8
9 ### Response:
10 [MODEL] : The response should include a YAML file which should include
   tasks that are intended to be used for the role 'role_anssi_linux'. The
   tasks should include remount_all, reload_sysctl, restart_auditd,
   restart_fail2ban, restart_sshd, and if possible, using Ansible built-in
   functions. The arguments for these functions should be specified, if
   applicable.
```

13.2 Annexe 2: Llama 13B

13.2.1 Tir 1

```
1 [PROMPT] :
2 Below is an instruction that describes a task, paired with an input that
   provides further context. Write a response that appropriately completes
   the request.
3
4 ### Instruction:
5 Make a details plan of how to configure an architecture of a ansible yaml
   file base on the input as an expert in Ansible with Yaml language. It
   should explain in detaile how the file should be structured describing
   each tasks with a small description that should include the name of the
   task, what it should do and what function it should use.
6
7 ### Input:
8 Ansible Yaml file should contain tasks that are intended to be used for the
   role '\'role_anssi_linux\''. The tasks should include remount_all,
   reload_sysctl, restart_auditd, restart_fail2ban, restart_sshd,
   restart_firewalld, and if possible, using Ansible built-in functions.
   The arguments for these functions should be specified, if applicable.
9
10 ### Response:
11 [MODEL] : You can use the following structure for your response:
12
13 {
14     "response": {
15         "status": "success",
```

```

16     "plan": "The following is an example of what you need to do. You have
17     to provide a complete ansible file, that should contain at least the
18     following tasks:
19         <task1>
20         <task2>
21         <task3>
22         <task4>
23
24     ### Explanation:
25     Ansible is a tool for automating systems administration, network
26     configuration and other manual tasks.
27
28     - **status**: Describe your task.
29     - **plan**: Provide a detailed description of your task.
30
31     ### Challenge:
32     1. Create a file that should contain at least the following tasks.
33
34     ### Submissions:
35     - Response should be in markdown form.

```

13.3 Annexe 3: Alpaca 13b

13.3.1 Tir 1

```

1 [PROMPT] :
2 Below is an instruction that describes a task, paired with an input that
3     provides further context. Write a response that appropriately completes
4     the request.
5
6     ### Instruction:
7 Make a details plan of how to configure an architecture of a ansible yaml
8     file base on the input as an expert in Ansible with Yaml language. It
9     should explain in detaile how the file should be structured describing
10    each tasks with a small description that should include the name of the
11    task, what it should do and what function it should use.
12
13     ### Input:
14 Ansible Yaml file should contain tasks that are intended to be used for the
15     role 'role_anssi_linux'. The tasks should include remount_all,
16     reload_sysctl, restart_auditd, restart_fail2ban, restart_sshd,
17     restart_firewalld, and if possible, using Ansible built-in functions.
18     The arguments for these functions should be specified, if applicable.
19
20     ### Response:
21
22 [MODEL] :
23 An Ansible Yaml file for the role 'role_anssi_linux' should contain the
24     following tasks:
25
26     - remount_all: This task should be used to remount all of the file systems
27         in the /etc/fstab file. It should take the /etc/fstab as an argument.
28
29     - reload_sysctl: This task should be used to reload the /etc/sysctl.conf
30         file. It should take the /etc/sysctl.conf as an argument.
31
32     - restart_auditd: This task should be used to restart the auditd service.
33         It should take the auditd service as an argument.

```

```

21 - restart_fail2ban: This task should be used to restart the fail2ban
   service. It should take the fail2ban service as an argument.
22
23 - restart_sshd: This task should be used to restart the sshd service. It
   should take the sshd service as an argument.
24
25 - restart_firewalld: This task should be used to restart the firewalld
   service. It should take the firewalld service as an argument.
26
27 - if_possible: This task should be used to execute a certain task if it is
   possible. It should take the task as an argument.

```

13.3.2 Tir 2

```

1 [PROMPT] :
2 Below is an instruction that describes a task, paired with an input that
   provides further context. Write a response that appropriately completes
   the request.
3
4 ### Instruction:
5 Write a yml file in Yaml language in Ansible syntaxe, that folow the plan
   of configuration given in input. The responce should only be the content
   of a yml file.
6
7 ### Input:
8 An Ansible Yaml file for the role 'role_anssi_linux' should contain the
   following tasks:
9
10 - remount_all: This task should be used to remount all of the file systems
    in the /etc/fstab file. It should take the /etc/fstab as an argument.
11
12 - reload_sysctl: This task should be used to reload the /etc/sysctl.conf
    file. It should take the /etc/sysctl.conf as an argument.
13
14 - restart_auditd: This task should be used to restart the auditd service.
    It should take the auditd service as an argument.
15
16 - restart_fail2ban: This task should be used to restart the fail2ban
    service. It should take the fail2ban service as an argument.
17
18 - restart_sshd: This task should be used to restart the sshd service. It
    should take the sshd service as an argument.
19
20 - restart_firewalld: This task should be used to restart the firewalld
    service. It should take the firewalld service as an argument.
21
22 - if_possible: This task should be used to execute a certain task if it is
    possible. It should take the task as an argument.
23
24 ### Response:
25
26 [MODEL] :
27 role_anssi_linux:
28   remount_all:
29     - args: /etc/fstab
30   reload_sysctl:
31     - args: /etc/sysctl.conf
32   restart_auditd:
33     - args: auditd
34   restart_fail2ban:

```

```

35     - args: fail2ban
36   restart_sshd:
37     - args: sshd
38   restart_firewalld:
39     - args: firewalld

```

13.4 Annexe 4: Llama 2 13b

13.4.1 Tir 1

```

1 [PROMPT] :
2   [INST] <<SYS>>
3     You are a helpful, respectful and honest assistant. Always answer as
4     helpfully as possible, while being safe. Your answers should not
5     include any harmful, unethical, racist, sexist, toxic, dangerous, or
6     illegal content. Please ensure that your responses are socially unbiased
7     and positive in nature.
8     You also are an expert in Yaml language and Ansible.
9     <</SYS>>
10
11   Make a details plan of how to configure an architecture of a ansible
12   yaml file. It should explain in detaile how the file should be
13   structured describing each tasks with a small description.
14   The Ansible Yaml file should contain tasks that are intended to be used
15   for the role \'role_anssi_linux\'. The tasks should include remount_all
16   , reload_sysctl, restart_auditt, restart_fail2ban, restart_sshd,
17   restart_firewalld, and if possible, using Ansible built-in functions.
18   The arguments for these functions should be specified, if applicable.
19   Here is an example of Ansible task in Yaml but don\'t include it if you
20   don\'t need it:
21   '''yaml
22   ---
23   - name: unistall unsecure packages
24     ansible.builtin.package:
25       name: "{{ unsecure_packages_list }}"
26       state: absent
27   '''
28
29   Then write this Yaml file.  [/INST]
30
31 [MODEL] :
32   Sure, I can help you with that! Here\'s a detailed plan for configuring
33   an Ansible YAML file to perform various tasks for a Linux-based system.
34   The tasks included in this plan are intended for the role \''
35   role_anssi_linux\'.
36   **Structure of the YAML file**
37   The YAML file should have a root element named \'ansible\', which is
38   the default namespace for Ansible. Within the \'ansible\' element, we
39   will define a list of tasks that need to be performed. Each task will be
40   defined within a \'task\' element, and will include a \'name\''
41   attribute to specify the task name, and a \'state\'' attribute to specify
42   the desired state of the task (e.g., \'present\' or \'absent\').
43   Here\'s an example of the structure of the YAML file:
44   '''yaml
45   ---
46   - name: Configure unsecure packages
47     ansible.builtin.package:
48       name: "{{ unsecure_packages_list }}"
49       state: absent
50
51   - name: Remount all file systems

```

```

32     ansible.builtin.mount:
33         state: remount
34
35 - name: Reload sysctl
36   ansible.builtin.sysctl:
37     state: reload
38
39 - name: Restart auditd
40   ansible.builtin.service:
41     name: auditd
42     state: restart
43
44 - name: Restart fail2ban
45   ansible.builtin.service:
46     name: fail2ban
47     state: restart
48
49 - name: Restart sshd
50   ansible.builtin.service:
51     name: sshd
52     state: restart
53
54 - name: Restart firewalld
55   ansible.builtin.service:
56     name: firewalld
57     state: restart
58 '''
59
60 **Task 1: Uninstall unsecure packages**
61
62 This task will remove any unsecure packages that are currently
63 installed on the system. The '\`ansible.builtin.package\`' module will be
64 used to specify the packages to be removed, and the '\`state\`' attribute
65 will be set to '\`absent\`' to ensure that the packages are completely
66 removed.
67 '''
68
69 **Task 2: Remount all file systems**
70
71 This task will remount all file systems to ensure that any changes made
72 to the system take effect immediately. The '\`ansible.builtin.mount\`'
73 module will be used to specify the file systems to be remounted, and the
74 '\`state\`' attribute will be set to '\`remount\`' to ensure that the file
75 systems are remounted.
76 '''
77
78 **Task 3: Reload sysctl**
79
80 This task will reload the sysctl configuration to ensure that any
81 changes made to the system take effect immediately. The '\`ansible.
82 builtin.sysctl\`' module will be used to specify the sysctl configuration
83 to be reloaded, and the '\`state\`' attribute will be set to '\`reload\`'
84 to ensure that the sysctl configuration is reloaded.
85 '''
86
87 - name: Reload sysctl

```

```

81     ansible.builtin.sysctl:
82         state: reload
83     '''
84
85     **Task 4: Restart auditd**
86
87     This task will restart the auditd service to ensure that any changes
88     made to the system take effect immediately. The \'ansible.builtin.
89     service\' module will be used to specify the service to be restarted,
90     and the \'state\' attribute will be set to \'restart\' to ensure that
91     the service is restarted.
92     '''
93
94     **Task 5: Restart fail2ban**
95
96     This task will restart the fail2ban service to ensure that any changes
97     made to the system take effect immediately. The \'ansible.builtin.
98     service\' module will be used to specify the service to be restarted,
99     and the \'state\' attribute will be set to \'restart\' to ensure that
100    the service is restarted.
101   '''
102
103   **Task 6: Restart sshd**
104
105   This task will restart the sshd service to ensure that any changes made
106   to the system take effect immediately. The \'ansible.builtin.service\',
107   module will be used to specify the service to be restarted, and the \''
108   state\' attribute will be set to \'restart\' to ensure that the service
109   is restarted.
110   '''
111
112   **Task 7: Restart firewalld**
113
114   This task will restart the firewalld service to ensure that any changes
115   made to the system take effect immediately. The \'ansible.builtin.
116   service\' module will be used to specify the service to be restarted,
117   and the \'state\' attribute will be set to \'restart\' to ensure that
118   the service is restarted.
119   '''
120
121   **Additional tasks (optional)**
122
123   In addition to the tasks listed above, you may also want to include
124   additional tasks to perform other actions, such as updating the system\''
125   s package list, checking for updates, or disabling unnecessary services.

```

```

123 Here's an example of an additional task to update the system's
124 package list:
125   '''yaml
126     - name: Update package list
127       ansible.builtin.package:
128         name: update
129         state: present
130   '''
131 You can include this task within the same YAML file as the other tasks,
132 or you can create a separate YAML file for this task.
133 **Conclusion**
134
135 In conclusion, this YAML file will contain a list of tasks that will be
136 performed on a Linux-based system to configure the system and ensure
137 that it is secure and up-to-date. The tasks included in this plan are
138 intended for the role '\'role_anssi_linux\'', and they will be performed
139 using the Ansible built-in modules. The YAML file will be structured in
140 a way that is easy to read and understand, with each task described in
141 detail and including any necessary arguments or parameters.

```

13.4.2 Tir 2

```

1 [PROMPT] :
2   [INST] <<SYS>>
3     You are a helpful, respectful and honest assistant. Always answer as
4     helpfully as possible, while being safe. Your answers should not
5     include any harmful, unethical, racist, sexist, toxic, dangerous, or
6     illegal content. Please ensure that your responses are socially unbiased
7     and positive in nature.
8     You also are an expert in Yaml language and Ansible.
9     <</SYS>>
10
11   Make a details plan of how to configure an architecture of a ansible
12     yaml file. It should explain in detaile how the file should be
13     structured describing each tasks with a small description.
14     The Ansible Yaml file should contain tasks that are intended to be used
15     for the role '\'role_anssi_linux\''. The tasks should include remount_all
16     , reload_sysctl, restart_audited, restart_fail2ban, restart_sshd,
17     restart_firewalld, and if possible, using Ansible built-in functions.
18     The arguments for these functions should be specified, if applicable.
19     Here is an example of Ansible task in Yaml but don't include it if you
20     don't need it:
21   '''yaml
22   ---
23     - name: unistall unsecure packages
24       ansible.builtin.package:
25         name: "{{ unsecure_packages_list }}"
26         state: absent
27   '''
28
29   Then write this Yaml file.  [/INST]
30
31 [MODEL] :
32   Certainly! Here is a detailed plan for configuring an Ansible YAML file
33   to perform various tasks on a Linux system. The file should be
34   structured as follows:
35   '''yaml
36   ---
37     - name: Role: anssi_linux
38       hosts: all
39       become: true

```

```

26
27     tasks:
28         - name: Remount all file systems
29             ansible.builtin.command:
30                 cmd: "remount all"
31
32         - name: Reload sysctl
33             ansible.builtin.command:
34                 cmd: "sysctl -r"
35
36         - name: Restart auditd
37             ansible.builtin.service:
38                 name: auditd
39                 state: restarted
40
41         - name: Restart fail2ban
42             ansible.builtin.service:
43                 name: fail2ban
44                 state: restarted
45
46         - name: Restart sshd
47             ansible.builtin.service:
48                 name: sshd
49                 state: restarted
50
51         - name: Restart firewalld
52             ansible.builtin.service:
53                 name: firewalld
54                 state: restarted
55
56         - name: Install unsecure packages
57             ansible.builtin.package:
58                 name: "{{ unsecure_packages_list }}"
59                 state: present
60
61     Here is a brief description of each task:
62
63     1. Remount all file systems: This task remounts all file systems to
64        ensure that they are properly mounted and accessible.
65     2. Reload sysctl: This task reloads the sysctl configuration to ensure
66        that any changes made to the configuration are applied.
67     3. Restart auditd: This task restarts the auditd service to ensure that
68        it is functioning properly.
69     4. Restart fail2ban: This task restarts the fail2ban service to ensure
70        that it is functioning properly.
71     5. Restart sshd: This task restarts the sshd service to ensure that it
72        is functioning properly.
73     6. Restart firewalld: This task restarts the firewalld service to
74        ensure that it is functioning properly.
75     7. Install unsecure packages: This task installs a list of unsecure
76        packages that are known to pose a security risk. The list of packages
77        should be specified in the YAML file using the 'unsecure_packages_list'
78        variable.
79        The 'ansible.builtin.command' and 'ansible.builtin.service' modules are
80        used to execute commands and manage services, respectively. The 'become'
81        keyword is used to elevate the privileges of the Ansible task to
82        perform the tasks as the root user.
83        This plan should provide a comprehensive set of tasks to configure and
84        secure a Linux system using Ansible. Please note that the specific tasks
85        and arguments may vary depending on the specific requirements of your
86        system.

```

13.4.3 Tir 3

```
1 [PROMPT] :
2   [INST] <<SYS>>
3     You are a helpful, respectful and honest assistant. Always answer as
4       helpfully as possible, while being safe. Your answers should not
5       include any harmful, unethical, racist, sexist, toxic, dangerous, or
6       illegal content. Please ensure that your responses are socially unbiased
7       and positive in nature.
8     You also are an expert in Yaml language and Ansible.
9     <</SYS>>
10
11
12   Make a details plan of how to configure an architecture of a ansible
13     yaml file. It should explain in detaile how the file should be
14     structured describing each tasks with a small description.
15   The Ansible Yaml file should contain tasks that are intended to be used
16     for the role \'role_anssi_linux\''. The tasks should include remount_all
17     , reload_sysctl, restart_auditd, restart_fail2ban, restart_sshd,
18     restart_firewalld, and if possible, using Ansible built-in functions.
19   The arguments for these functions should be specified, if applicable.
20   Here is an example of Ansible task in Yaml but don\'t include it if you
21     don\'t need it:
22     '''yaml
23     ---
24     - name: unistall unsecure packages
25       ansible.builtin.package:
26         name: "{{ unsecure_packages_list }}"
27         state: absent
28     '''
29
30   Then write this Yaml file.  [/INST]
31
32 [MODEL] :
33   Sure, I can help you with that! Here\''s a detailed plan for configuring
34     an Ansible YAML file to perform various tasks for a Linux-based system.
35     The file will be structured as follows:
36     ---
37     - name: Role for Linux
38       hosts: all
39       become: true
40
41     # Remount all file systems read-only
42     tasks:
43       - name: Remount all file systems read-only
44         ansible.builtin.mount:
45           mountpoint: "/"
46           state: remount
47           read_only: true
48
49     # Reload sysctl
50     tasks:
51       - name: Reload sysctl
52         ansible.builtin.sysctl:
53           name: "net.ipv4.ip_non_ext_hash"
54           value: "0"
55           state: reload
56
57     # Restart services
58     tasks:
```

```

44      - name: Restart auditd
45          ansible.builtin.service:
46              name: auditd
47              state: restart
48
49      - name: Restart fail2ban
50          ansible.builtin.service:
51              name: fail2ban
52              state: restart
53
54      - name: Restart sshd
55          ansible.builtin.service:
56              name: sshd
57              state: restart
58
59      - name: Restart firewalld
60          ansible.builtin.service:
61              name: firewalld
62              state: restart
63
64 # Remove unsecure packages
65 tasks:
66     - name: Remove unsecure packages
67         ansible.builtin.package:
68             name: "{{ unsecure_packages_list }}"
69             state: absent
70
71 Note that this is just an example file, and you should modify it to
72 suit your specific needs. Here's a brief description of each task:
73 1. Remount all file systems read-only: This task remounts all file
systems read-only to prevent changes to the file system during the
deployment.
74 2. Reload sysctl: This task reloads the sysctl configuration to ensure
that the changes take effect.
75 3. Restart services: These tasks restart the auditd, fail2ban, sshd,
and firewalld services to ensure that they are running with the updated
configuration.
76 4. Remove unsecure packages: This task removes any unsecure packages
that are listed in the unsecure_packages_list variable.
77 The arguments for each task are specified as follows:
78 * ansible.builtin.mount:
79   \t+ mountpoint: "/" (the root mount point)
80   \t+ state: remount (to remount all file systems read-only)
81   \t+ read_only: true (to mount the file systems read-only)
82 * ansible.builtin.sysctl:
83   \t+ name: "net.ipv4.ip_non_ext_hash" (the sysctl configuration to
reload)
84   \t+ value: "0" (the new value for the sysctl configuration)
85   \t+ state: reload (to reload the sysctl configuration)
86 * ansible.builtin.service:
87   \t+ name: (the name of the service to restart)
88   \t+ state: restart (to restart the service)
89
90 In the example file, the unsecure_packages_list is not specified, so no
packages will be removed. You can modify this variable to list the
packages that you want to remove.
That's it! This is a basic plan for configuring an Ansible YAML file
to perform various tasks for a Linux-based system. You can modify the
file to suit your specific needs and add more tasks as needed.

```

13.5 Annexe 5: CodeUp 13b

13.5.1 Tir 1

```
1 [PROMPT] :
2 Below is an instruction that describes a task. Write a response that
3   appropriately completes the request.
4
5 #### Instruction:
6 Make a details plan of how to configure an architecture of a ansible yaml
7   file. It should explain in detaile how the file should be structured
8   describing each tasks with a small description.
9 The Ansible Yaml file should contain tasks that are intended to be used for
10   the role \'role_anssi_linux\'. The tasks should include remount_all,
11   reload_sysctl, restart_auditd, restart_fail2ban, restart_sshd,
12   restart_firewalld, and if possible, using Ansible built-in functions.
13   The arguments for these functions should be specified, if applicable.
14 Here is an example of Ansible task in Yaml but don\'t include it if you don
15   \t need it:
16   '''yaml
17   ---
18   - name: unistall unsecure packages
19     ansible.builtin.package:
20       name: "{{ unsecure_packages_list }}"
21       state: absent
22   '''
23 Then write this Yaml file.
24
25 #### Response:
26 [MODEL] :
27 Here is a detailed plan for configuring the architecture of an Ansible YAML
28   file to install and configure a Linux server with the role \''
29   role_anssi_linux\'':
30
31 1. Overview
32
33 The following YAML file will install and configure a Linux server with the
34   role \'role_anssi_linux\'. The file will include tasks for remounting
35   all file systems, reloading sysctl, restarting auditd, fail2ban, sshd,
36   firewalld, and other relevant services.
37
38 2. Tasks
39
40 #### Remount all file systems
41
42 The first task will remount all file systems read-only to ensure that no
43   changes can be made to the file system while the role is being applied.
44   This is important to prevent accidental changes or modifications to the
45   file system, which could compromise the security of the system.
46   '''yaml
47   - name: Remount all file systems read-only
48     ansible.builtin.file:
49       path: "/"
50       state: read-only
51   '''
52
53 #### Reload sysctl
54
55 The next task will reload the sysctl configuration to ensure that any
56   changes made to the configuration are immediately applied.
57   '''yaml
```

```

41 - name: Reload sysctl
42   ansible.builtin.sysctl:
43     name: "{{ sysctl_name }}"
44     state: restart
45   ''
46
47 ### Restart auditd
48
49 The next task will restart the auditd service to ensure that any changes
50   made to the configuration are immediately applied.
51   ''''yaml
52 - name: Restart auditd
53   ansible.builtin.service:
54     name: auditd
55     state: restart
56   ''
57
58 ### Restart fail2ban
59
60 The next task will restart the fail2ban service to ensure that any changes
61   made to the configuration are immediately applied.
62   ''''yaml
63 - name: Restart fail2ban
64   ansible.builtin.service:
65     name: fail2ban
66     state: restart
67   ''
68
69 ### Restart sshd
70
71 The next task will restart the sshd service to ensure that any changes made
72   to the configuration are immediately applied.
73   ''''yaml
74 - name: Restart sshd
75   ansible.builtin.service:
76     name: sshd
77     state: restart
78   ''
79
80 ### Restart firewalld
81
82 The next task will restart the firewalld service to ensure that any changes
83   made to the configuration are immediately applied.
84   ''''yaml
85 - name: Restart firewalld
86   ansible.builtin.service:
87     name: firewalld
88     state: restart
89   ''
90
91 ### Install unsecure packages
92
93 The next task will uninstall any unsecure packages that are installed on
94   the system. This is important to prevent potential security
95   vulnerabilities.
96   ''''yaml
97 - name: Uninstall unsecure packages
98   ansible.builtin.package:
99     name: "{{ unsecure_packages_list }}"
100    state: absent
101  ''

```

```
96
97 3. Conclusion
98
99 The above YAML file will install and configure a Linux server with the role
  \'role_anssi_linux\''. The file includes tasks for remounting all file
  systems, reloading sysctl, restarting auditd, fail2ban, sshd, firewalld,
  and other relevant services. The file also includes a task for
  uninstalling any unsecure packages that are installed on the system.
100
101 I hope this helps! Let me know if you have any questions or if you need
    further assistance.
```